

# Wirtschaftlich-technische Systemanalyse für Batteriespeicher in stationären Anwendungen

Dr. Holger Hesse

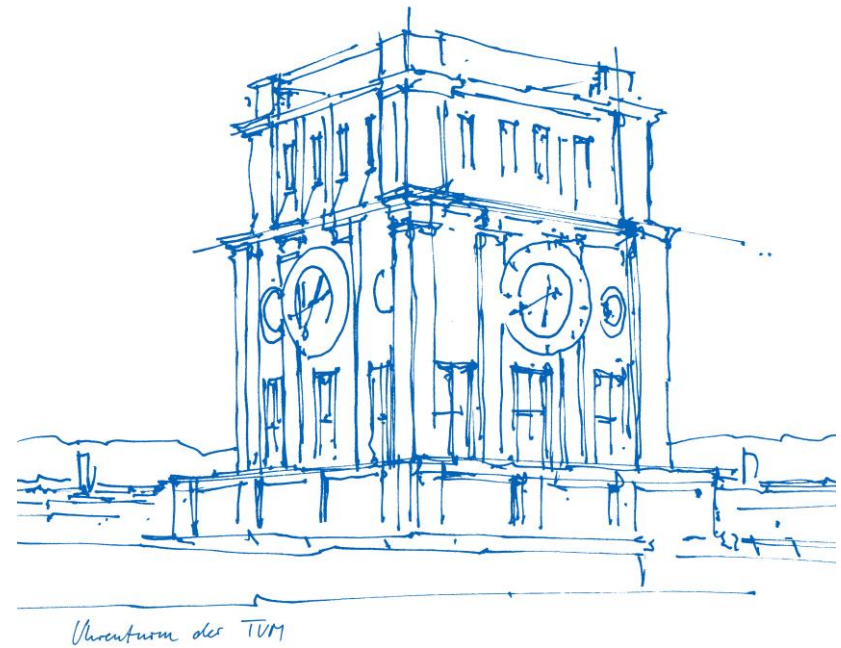
Technische Universität München

Lehrstuhl für Elektrische Energiespeichertechnik

Workshop „Dezentrale Sektorenkopplung und

hybride Energiespeichersysteme“

Dresden, 15.11.2016



# Gliederung

## **Übersicht stationäre Anwendungsfälle und Speichersysteme**

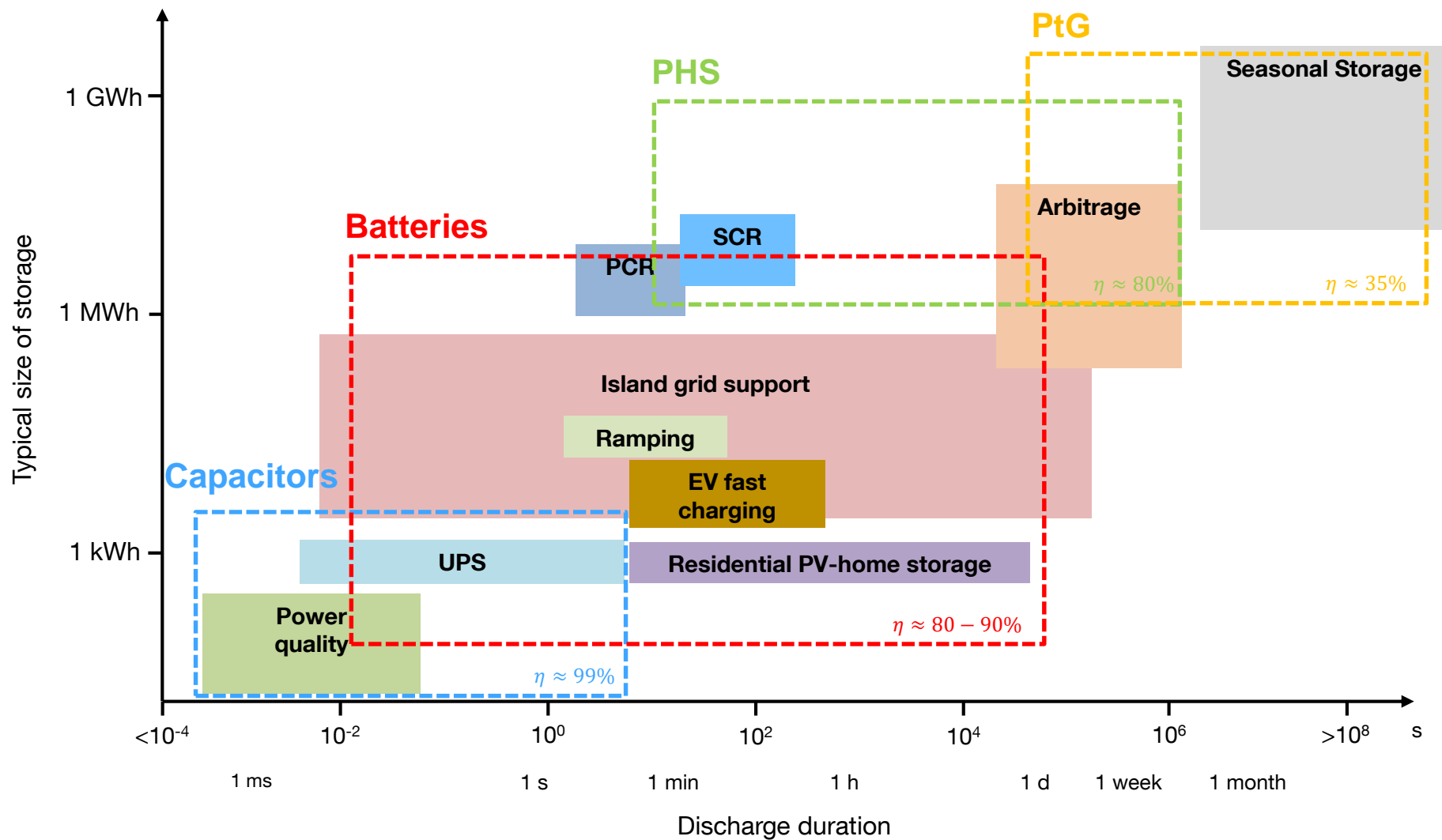
## **Wirtschaftlich-technische Modellierung von Batteriespeichern**

- **Modellansatz**
- **Kostenfaktoren für Speichersysteme**
- **Alterungsmechanismen (Li-Ionen)**
- **Anwendungsbeispiele**

## **Ausblick zur Systemhybridisierung**

# Application fields for stationary energy storage

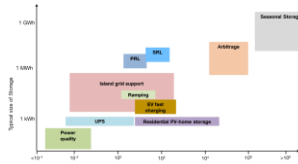
Classification of reaction speed and typical energy demand



# SimSES: Storage modelling tool

Matlab tool for storage behavior modelling and assessment of economic value

## Application specific time series data



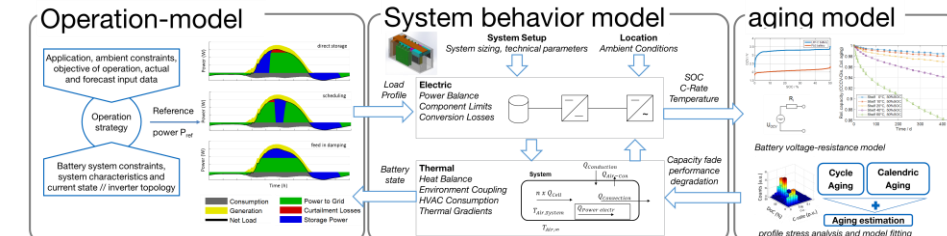
## Economic data

EES cost  
Energy market data

## Storage system information

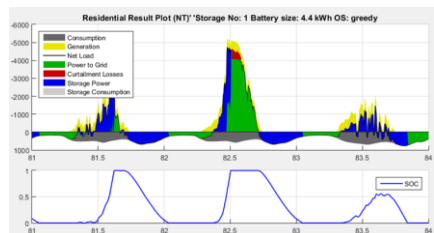
EES type (LFP, PbS, RFB, PtG)  
Topology (XX s YY p)  
Inverter coupling (AC / DC)

## Performance and aging measurements

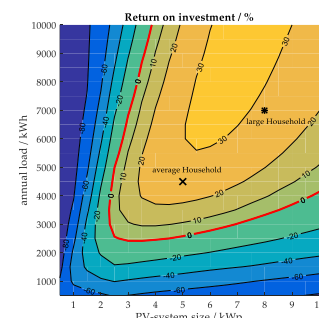


SimSES storage object(s)

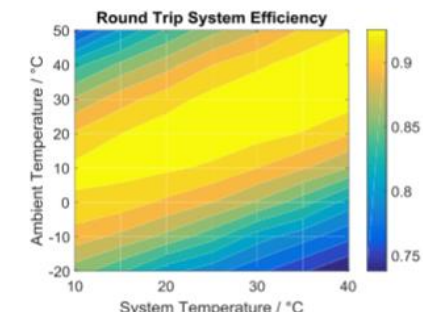
## Simulation of storage operation



## Economic assessment

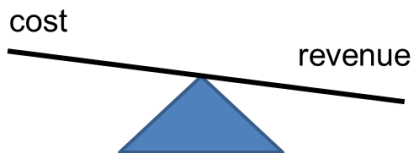


## Evaluation and result analysis



# Economic assessment of stationary storage

Return on invest and leveledized cost of energy



$$ROI = \frac{\text{"Profit"}}{\text{Invest}} = \frac{\text{"Revenue} - \text{Cost}}{\text{Invest}}$$

*Cost – for a battery storage system*

$$C_{Batt} = C_{CAPEX} + C_{OPEX} + C_{replace}$$

$$C_{CAPEX} = k_{Batt} * E_{batt} + k_{PE} * p_{max} + k_{fix}$$

$$C_{replace} \rightarrow \frac{k_{Batt} * cap}{LD_{Batt}} + \frac{k_{LE} * p_{max}}{LD_{LE}}$$

$$C_{OPEX} = f(\eta_{Batt}, \dots)$$

$$LCOE = \frac{K_{cost,Batt}}{\sum E_{Storage}^{out}} = \frac{K_{CAPEX} + K_{OPEX} + K_{replace}}{\sum E_{Storage}^{in} * \eta_{sys}}$$

## Revenue

### Application-specific:

PRL, SRL: weekly auction

Home -Storage: avoided retail electricity tarif

Peak-Shaving: reduced peak power price

Island-grid: avoided fuel cost for generator

...

## Battery storage cost

$$k_{Batt} \approx 300 - 700 \text{ €/kWh}$$

$$k_{PE} \approx 100 - 200 \text{ €/kW}$$

## *C<sub>replace</sub>*- lifetime of storage

$$LD_{Batt} \approx 2 \dots 20 \text{ a}$$

$LD_{Batt} \rightarrow f(\text{Application})$

$LD_{Batt} \rightarrow f(OS)$

OPEX: operational cost (power, maintenance, HR)

$$\eta_{sys} \approx 60 \dots 90\%$$

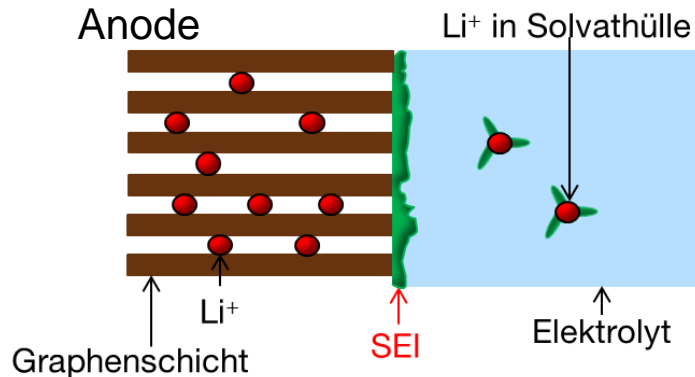
$\eta_{sys} \rightarrow \eta_{batt} * \eta_{PE} * \eta_{per}$

$\eta_{batt} \rightarrow f(\text{technology})$

$\eta_{Batt} \rightarrow f(OS)$

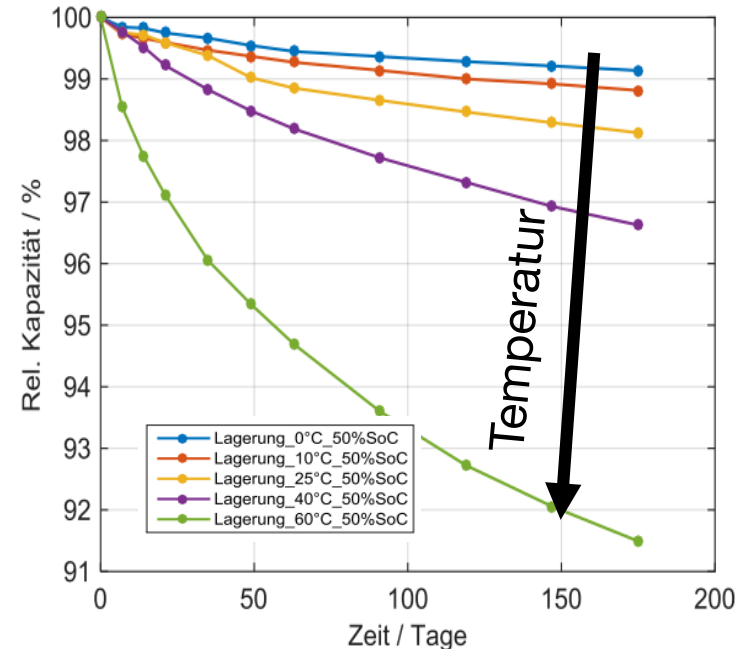
# Alterung im Batteriespeicher: Li-Ionen

Li-Ionen: kalendarische Alterung



- **Elektrolytzersetzung:**
  - SEI Wachstum
  - Deg. bei hohem SOC, hoher Temperatur
- **Kathodenauflösung:**
  - Spezifisch je nach Kathode
  - Deg. z.T. bei hohem SOC

$$a_{kal} \approx f(SOC, T, \dots)$$



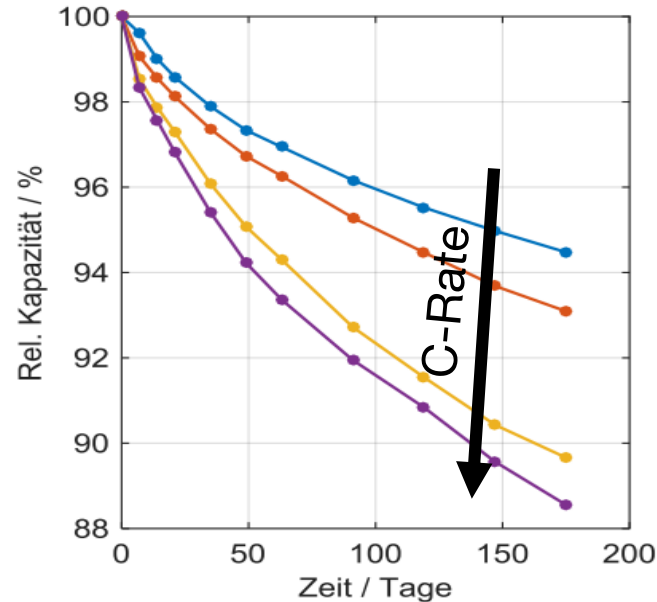
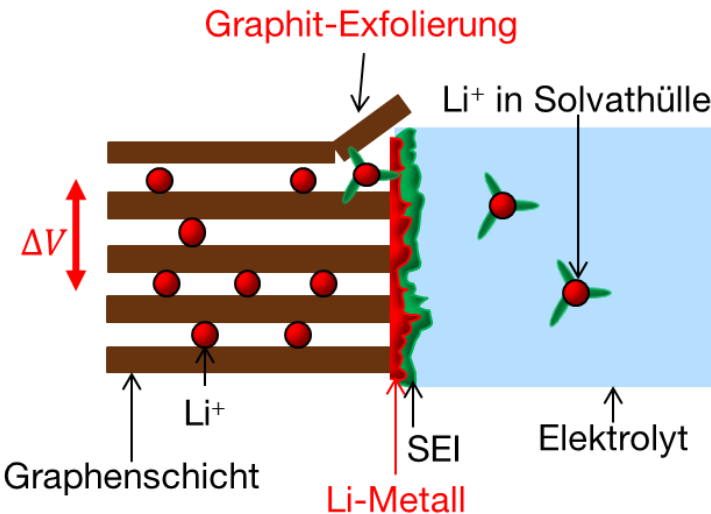
## Arrhenius-Charakteristik

$$k = k_0 \cdot e^{-\frac{E_a}{R \cdot T}}$$

$k$	Reaktionsgeschwindigkeit
$k_0$	Präexponentieller Faktor
$E_A$	Aktivierungsenergie
$R$	Univ. Gaskonstante
$T$	Temperatur in Kelvin

# Alterung im Batteriespeicher: Li-Ionen

Li-Ionen: zyklische Alterung



- **Volumenarbeit**
  - Deg. bei hohen Strömen, hohem DoD
- **Li-Plating**
  - Deg. bei hohen Strömen, tiefen Temperaturen
- **Phasenübergänge & Intercalation**
  - Deg. z.T. auch bei mittlerem SOC prominent

$$a_{zyk} \approx f(C_{rate}, T, \overline{SOC}, DOD, \dots)$$

Häufig: Superpositionsprinzip Alterung

$$a_{ges} \approx a_{zyk} + a_{kal}$$

⇒ Optimale Betriebstemperatur  
 $\text{Li-Ion} \approx 25^\circ\text{C}$

# Alterung im Batteriespeicher

Stationäre Anwendungen und zu erwartende Alterungsform

$$a_{ges} \approx a_{zyk} + a_{kal}$$

	C-rate Stromrate bei typ. P/E Speicher	Zyklenanzahl	DoD	typischer SoC	Vorherrschende Alterungsform für LIB
<b>Arbitrage</b>	Niedrig	Mittel	Tief	Hoch / niedrig	Kalendarisch + zyklisch
<b>Peak-Shaving</b>	Mittel	Niedrig	Tief	Hoch	Kalendarisch + zyklisch
<b>Bereitstellung von PRL (Regelleistung)</b>	Hoch	Hoch (Mikrozyklen)	Flach	Mittel	Kalendarisch + zyklisch
<b>Netzstützung</b>	Niedrig	Niedrig	Tief	Mittel	Kalendarisch
<b>PV-Heimspeicher</b>	Niedrig	Mittel	Tief	Mittel	Kalendarisch + zyklisch
<b>USV</b>	Hoch	Sehr niedrig	Flach	Hoch	Kalendarisch

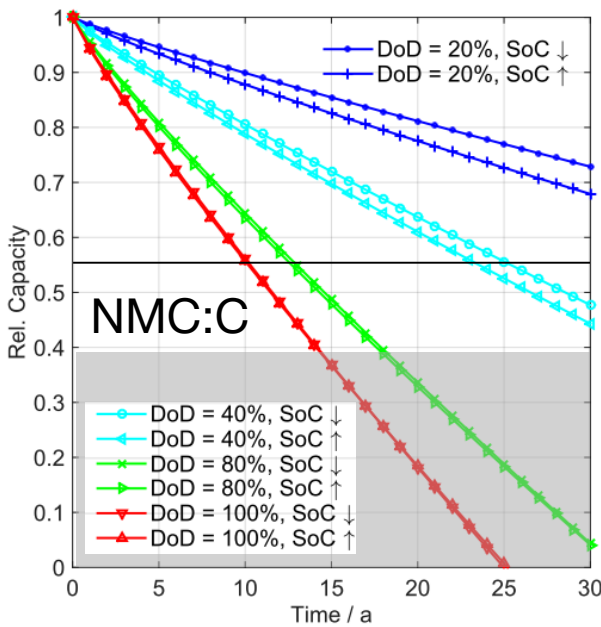
→ Farbprofil zeigt qualitativ Alterungseinfluss bei Verwendung typischer Li-Ionen Batterien

# Alterung im Batteriespeicher

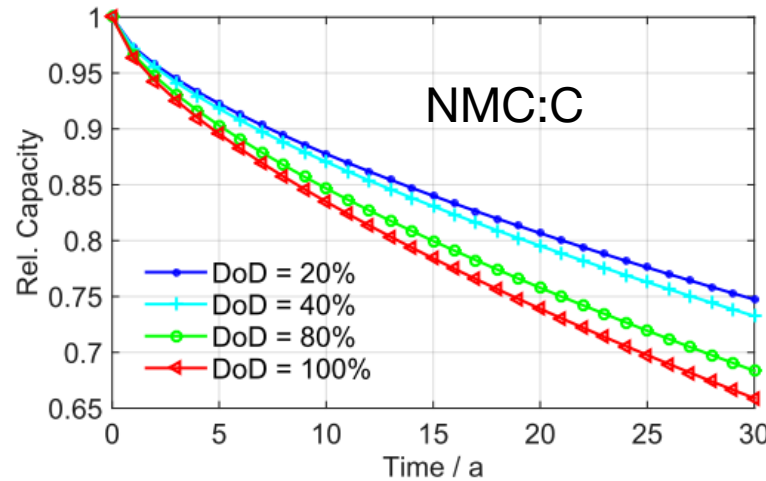
Alterung in beispielhaften stationären Anwendungsszenarien

- Modellierungsexperiment für automotive NMC:C Zellchemie
- Alterungseinfluss in unterschiedlichen Anwendungsszenarien

„Heimenergiespeicher“



„Regelleistungsspeicher“



Alterungsverlauf abhängig von Zellchemie und Anwendungsszenario!

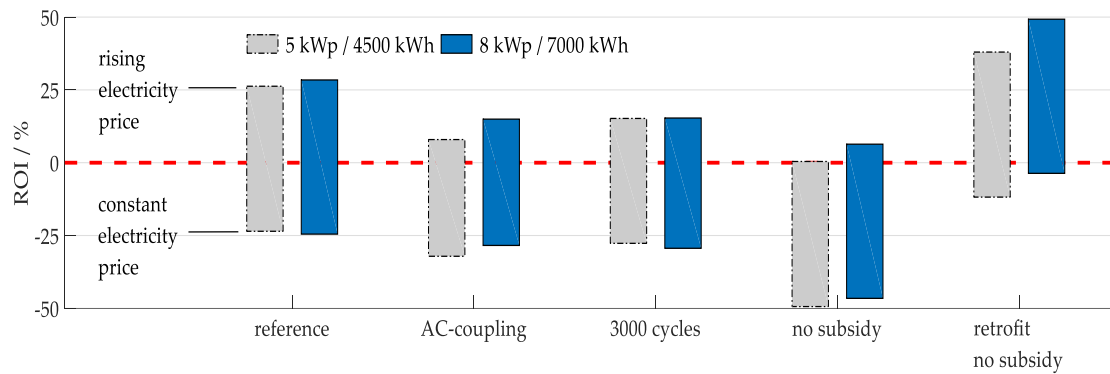
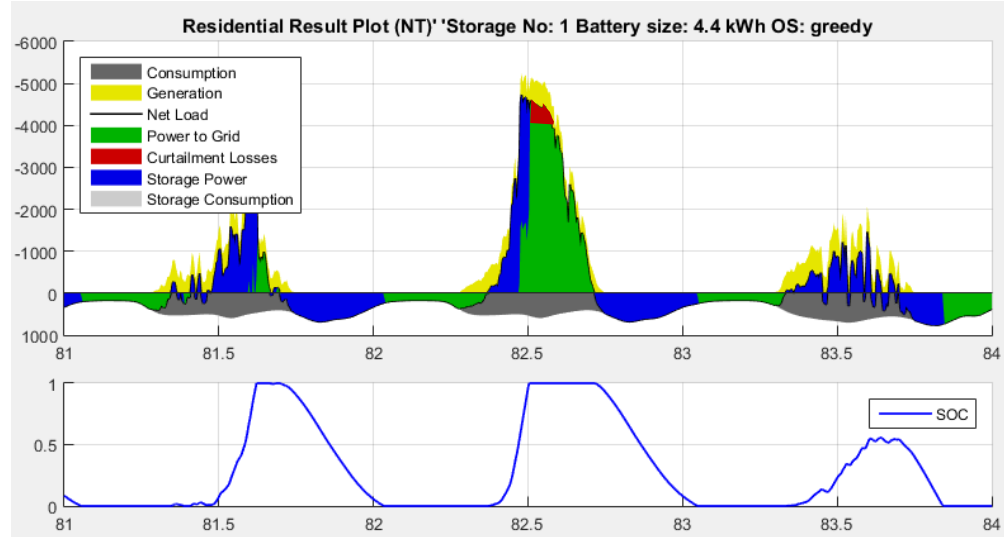
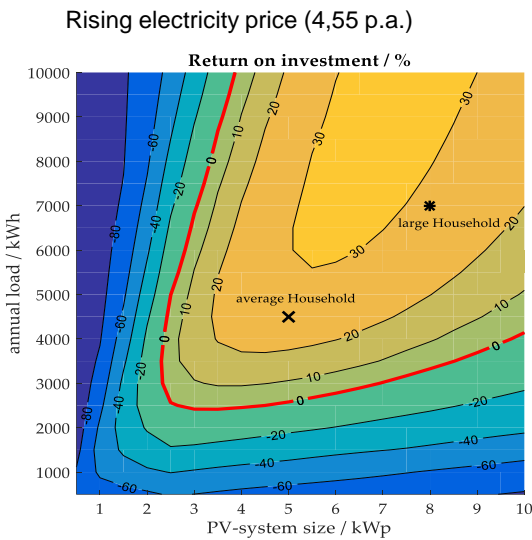
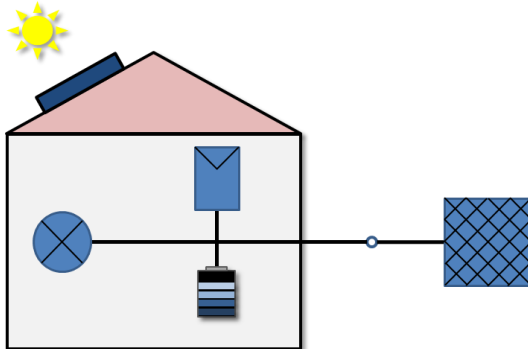


# Residential PV & home storage

Residential PV-home  
storage

TUM

Cost & Revenue analysis – „Tesla Powerwall®“



["Economics of residential photovoltaic battery systems in Germany: The case of Tesla's Powerwall"](#)

C.N. Truong, M. Naumann, R.C. Karl, M. Müller, A. Jossen, H.C. Hesse, batteries 2016,2 (2)

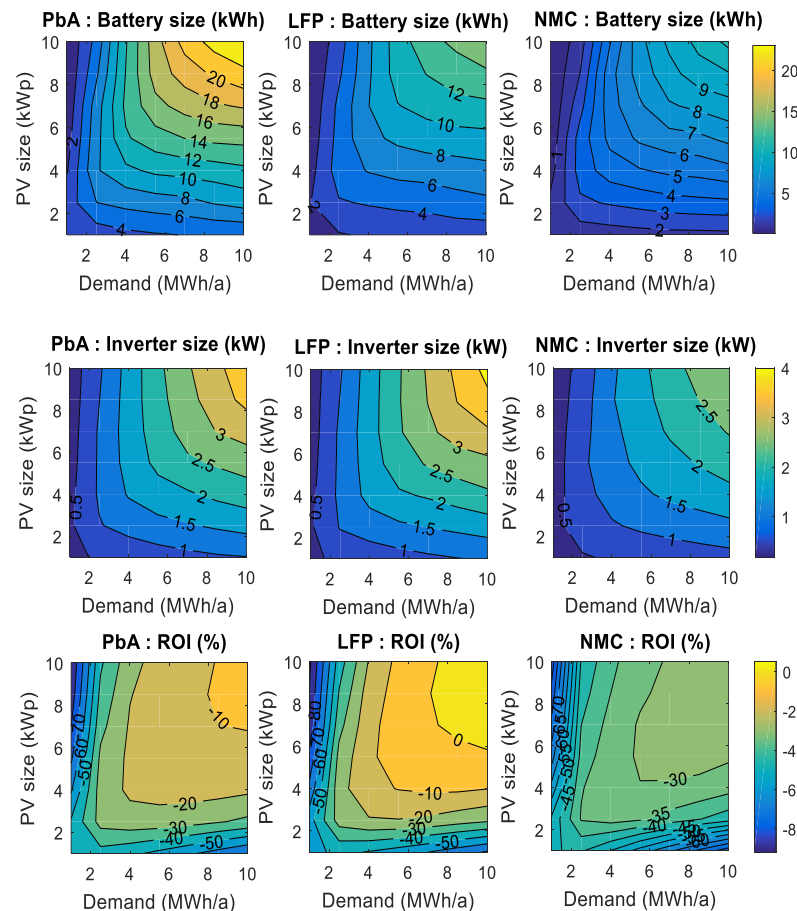
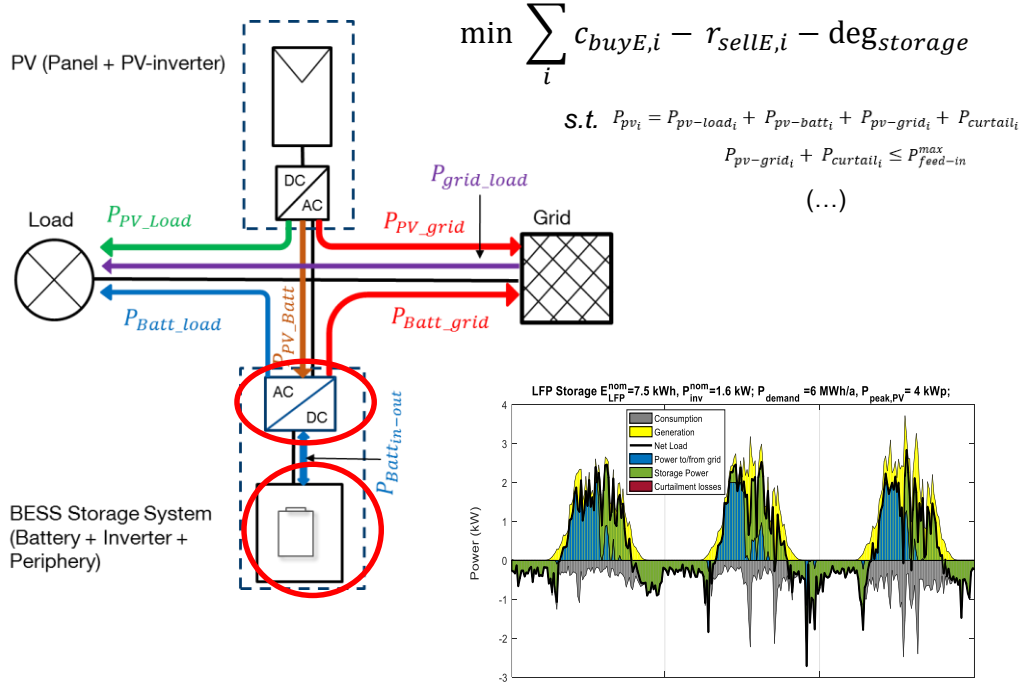
# Residential PV & home storage

Residential PV-home storage

TUM

Optimization of component dimensioning & power flow

- Linear programming approach to battery storage size and inverter size optimization
- Calendar and cyclic aging model
- Battery type comparison: PbA, NMC, LFP
- Slightly positive ROI for LFP in some scenarios



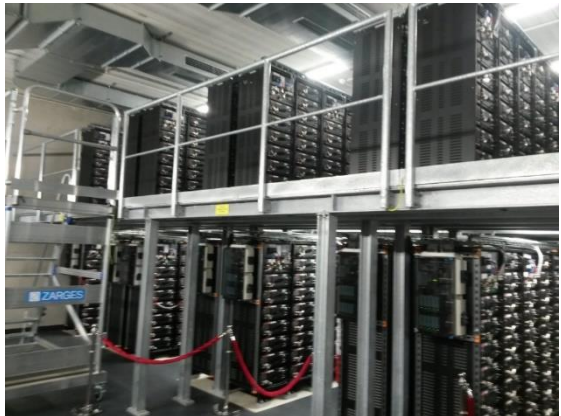
"Tailoring battery storage for PV-home applications: Finding the best technology and component sizing using linear optimization"  
H.C. Hesse, R. Martins, P. Musilek, M. Naumann, N. Truong, A. Jossen, submitted

# Control reserve

Frequency regulation  
(PRL, SRL)

TUM

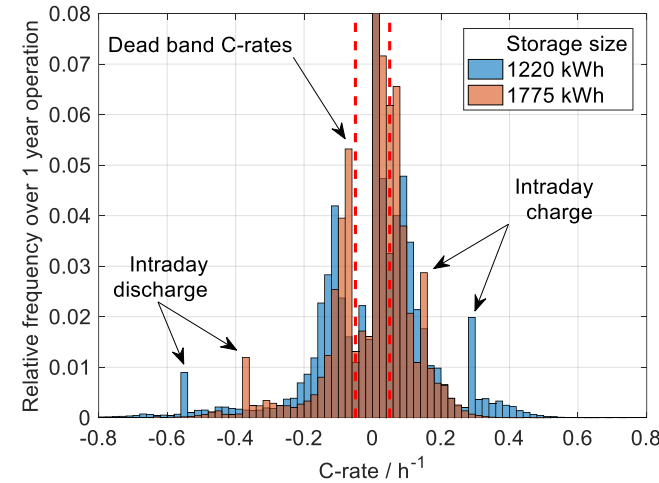
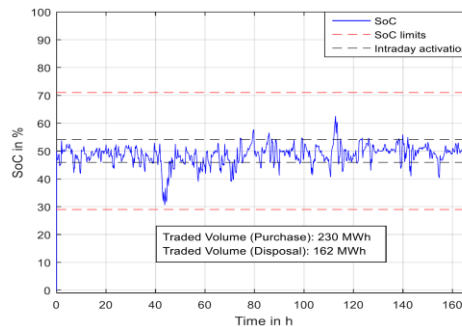
PCR: Storage energy management strategy and aging determination



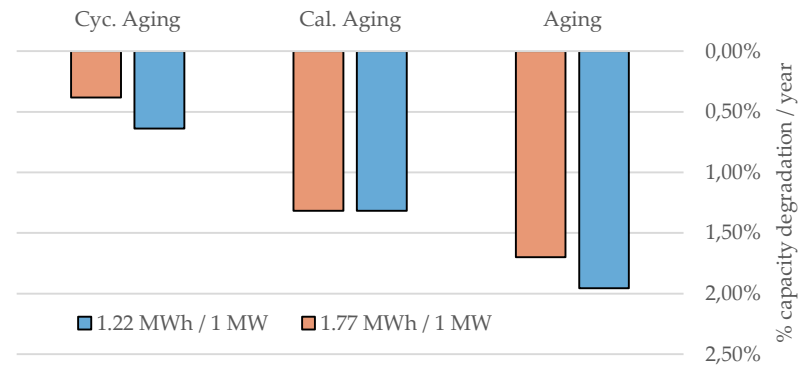
WEMAG 5MWh PCR battery storage

Battery PCR provision framework

- 15 / 30 min criterion
- Dead-band  $50 \pm 0.01 \text{ Hz}$
- Intraday EEX trading
- Over-supply 100...120%
- Ramp control speed (0...30s)



- Development of battery storage operation strategy for PCR compliant to 2016 regulations
- Storage aging analysis using historical data
- Comparison of different sizing approaches
- Investigations on combined use cases (e.g. home storage + PCR)

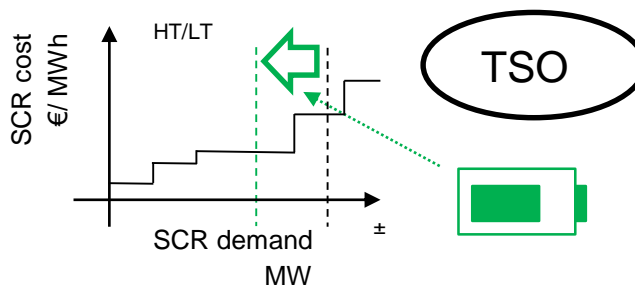
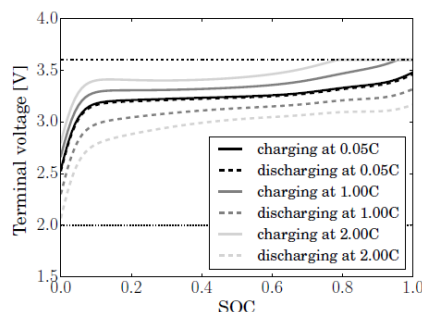


[„Fundamentals of using Battery Energy Storage Systems for providing Primary Control Reserve“](#)  
M. Müller, A. Zeh, M. Naumann, H.C. Hesse, A. Jossen, R. Witzmann, *batteries*, 2(3), 29

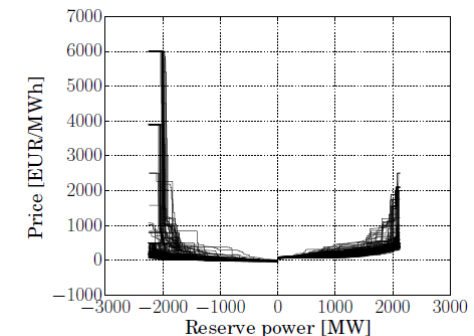
# Storage application fields

## Ancillary services – frequency control

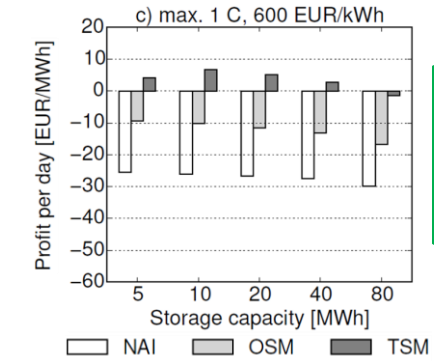
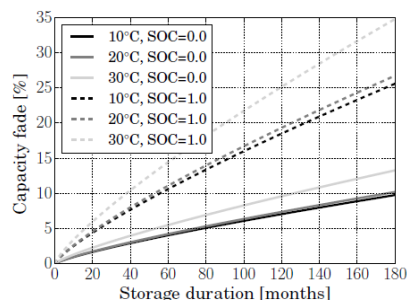
Battery ECM model



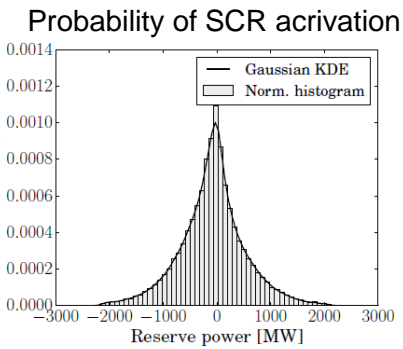
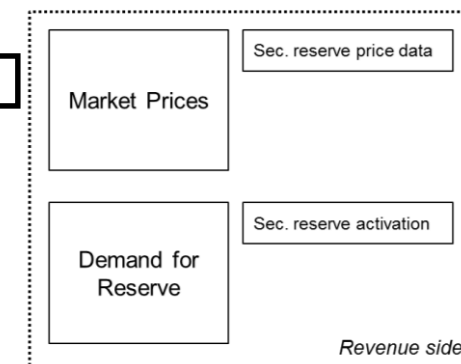
Historical SCR energy delivery price



LFP Aging model



LFP battery profits  
in SCR application  
at battery prices  
below 600 €/kWh

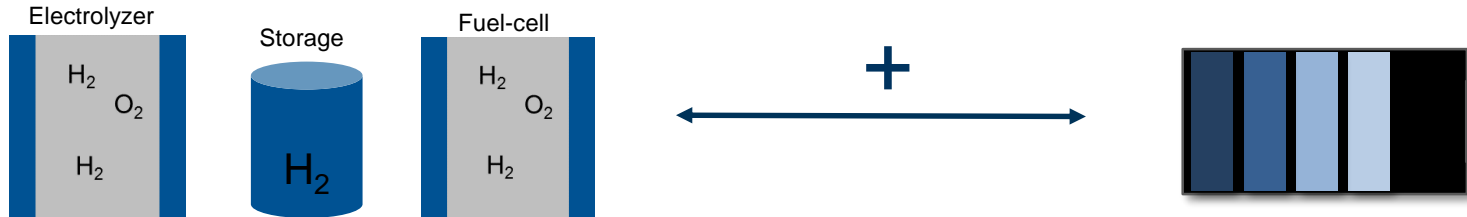


["Model-based Dispatch Strategies for Lithium-Ion Battery Energy Storage Applied to Secondary Reserve Provision"](#)

C. Goebel, H.C. Hesse, M. Schimpe, A. Jossen, H.-A. Jacobsen, IEEE Transactions on power systems (2016) in press

# Power-to-Gas und Hybridisierung

## Power-to-Gas + Battery Hybridization



### Power-to-Gas:

- Low conversion efficiency
- Very low energy related cost
- High power related cost
- Aging: sensitive to on/off cycles  
model development in progress

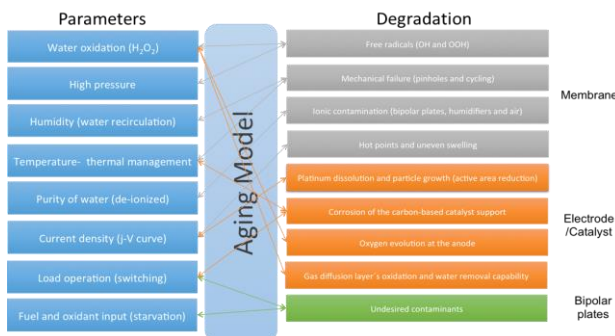
$$\begin{array}{lll} \eta_{PtG} \approx 35\% & \eta & \eta_{PtG} \approx 90\% \\ ++ & k_E & -- \\ - & k_p & ++ \end{array}$$

$$a_{tot} = f(\dots)$$

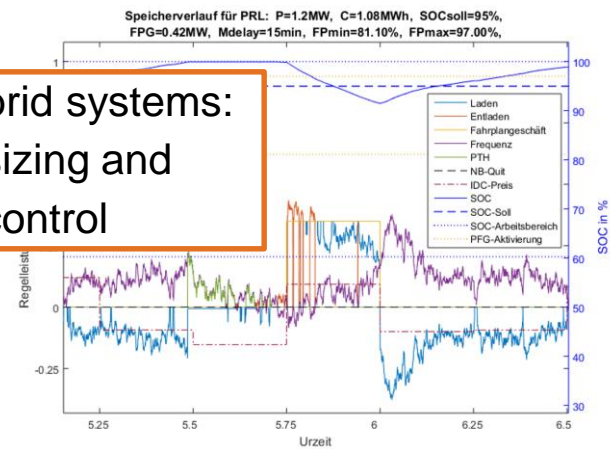
### Batteries:

- High conversion efficiency
- High energy related cost
- High peak-power capability
- Aging: sensitive to charge throughput, DOD

### Electrolyzer & Fuel Cell Aging Model



**Optimize hybrid systems:  
component sizing and  
operational control**



Example-plot: PCR with hybrid system battery + PtH